

Indicadores biológico-pesqueros de langostino colorado, langostino amarillo y camarón nailon (noviembre 2025)

Bol.Tec.10(8)|Lab.EPOMAR UdeC-Crustáceos Pesca Sur

Table of contents

1 Resumen	2
2 Aspectos Pesqueros	3
2.1 Actividad pesquera	3
2.2 Captura, esfuerzo y rendimientos de pesca	4
3 Aspectos biológicos	8
3.1 Proporción sexual y talla promedio	8
3.2 Aspectos reproductivos	12
3.3. Composición de tallas	13
3.4 Fauna acompañante	17

1 Resumen

En noviembre de 2025, la actividad pesquera se concentró en el camarón nailon (77 % de los lances), seguida por el langostino amarillo (17 %) y, en menor medida, por lances mixtos y dirigidos al langostino colorado (6 %). En consonancia, el camarón nailon registró 268 lances y 260 t, con rendimientos de hasta 3182 kg/ha. El langostino amarillo sumó 72 lances y 137 t, con rendimientos entre 10 y 4121 kg/ha; y el langostino colorado acumuló 41 t, con capturas por lance entre 16 kg y 5 t, un promedio de 1715 kg/lance, 39 ha de esfuerzo y un rendimiento medio de 1050 kg/ha. Espacialmente, destacaron Iloca, Constitución y Chanco (500–1000 kg/ha); para el langostino amarillo, la mayor concentración se observó en isla Santa María, Punta Toro y Papudo (500–1500 kg/ha), mientras que en langostino colorado sobresalió Punta Toro (1400–2000 kg/ha). En tallas, el camarón nailon mostró hembras mayores (30 mm LC) que machos (27 mm LC); en langostino amarillo ocurrió lo inverso (machos ~42 mm LC; hembras ~34 mm LC); y en langostino colorado no hubo diferencias significativas entre sexos (promedios ~37 mm LC), con una trayectoria intra-anual de máximos a comienzos de año, descenso en junio, recuperación en julio-agosto, leve baja en octubre y nuevo aumento en noviembre. Reproductivamente, las hembras ovígeras alcanzaron 52 % en camarón nailon, 79 % en langostino amarillo y 30 % en langostino colorado. En cuanto a fauna acompañante, predominó el pejerrata (7,4 %; ~35 t), con presencia frecuente de merluza y lenguado (~50–200 kg/ha) y, en menor abundancia, jaiba paco y jaiba limón.

2 Aspectos Pesqueros

2.1 Actividad pesquera

Las operaciones de pesca realizadas en noviembre abarcaron caladeros desde la región del Biobío hasta la región de Valparaíso, con especial concentración de actividad en Papudo, Punta Toro, Iloca, Chanco y la isla Santa María (Fig. 1).

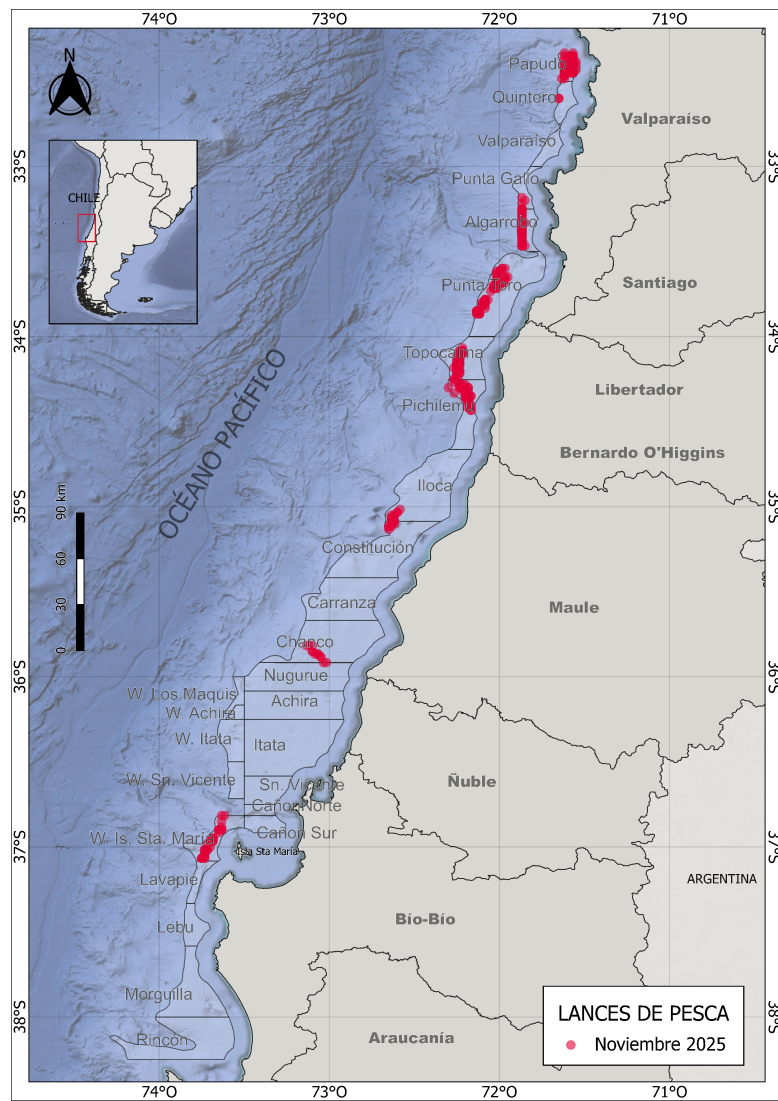


Figure 1: Distribución espacial del total de lances de pesca realizados durante noviembre de 2025

2.2 Captura, esfuerzo y rendimientos de pesca

Durante noviembre de 2025, la actividad pesquera se concentró principalmente en el camarón nailon el 77 % de los lances se dirigió exclusivamente a esta especie, mientras que un 17 % correspondió a capturas exclusivas de langostino amarillo. El 6 % restante se distribuyó entre lances con capturas mixtas y lances dirigidos exclusivamente al langostino colorado (Fig. 2).

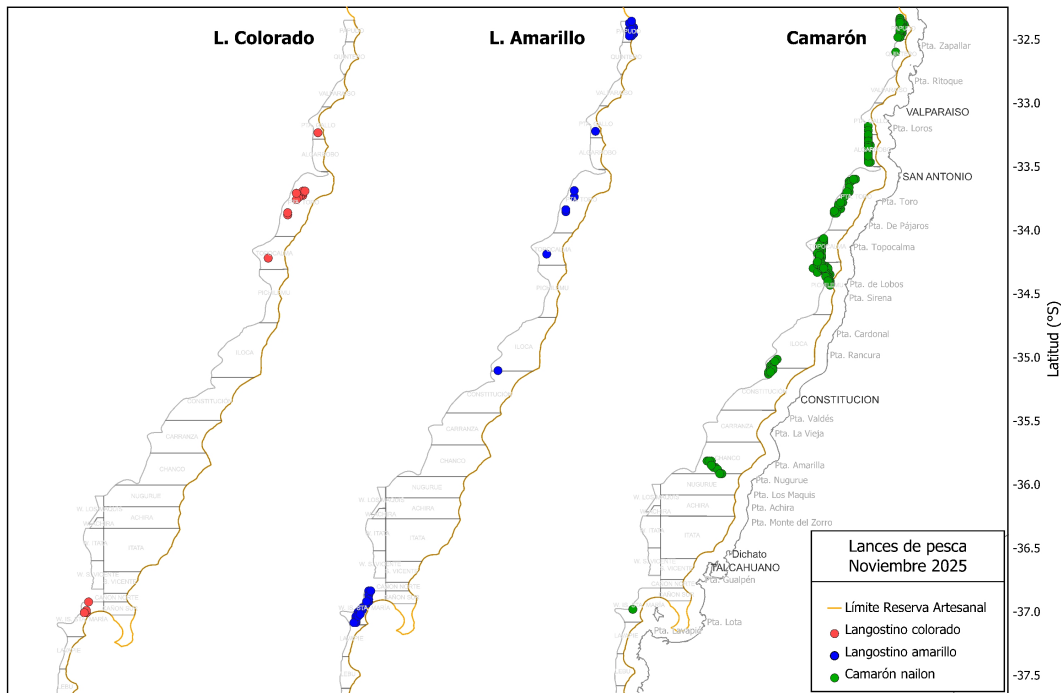


Figure 2: Distribución espacial de los lances de pesca orientados a langostino colorado, langostino amarillo y camarón nailon durante noviembre de 2025

En consonancia con esta distribución del esfuerzo, el camarón nailon registró 268 lances, con 260 t de captura total y un rendimiento medio de 477 kg/ha (Tabla 1). El langostino amarillo sumó 72 lances y 137 t, con un rendimiento promedio de 1002 kg/ha (Tabla 1). Finalmente, el langostino colorado acumuló 411 t; las capturas por lance variaron entre 16 kg y 5 t, con un promedio de 1715 kg/lance, un esfuerzo de 39 ha (horas de arrastre) y un rendimiento de 1050 kg/ha (Tabla 1).

Tabla 1. Indicadores operacionales de la pesquería de langostino colorado, langostino amarillo y camarón nailon, año 2025.

Recurso	Mes	Nº de lances(n)	Cap. (kg)	Cap.lances (kg/n)	h ar-rast.(ha)	Rend. (kg/ha)	Prof.de fondo(m)
L.colorado	marzo	178	492941	2769	233	2118	220
	abril	267	805486	3017	366	2202	210
	mayo	254	792701	3121	513	1546	177
	junio	205	722214	3523	460	1571	163
	julio	210	736028	3504	487	1510	157
	agosto	179	631958	3530	294	214	192
	octubre	143	333252	2330	282	1179	145
	noviembre	24	41176	1715	39	1050	156
L.amarillo	marzo	124	102458	826	172	596	225
	abril	200	89582	448	273	328	215
	mayo	138	55002	399	280	197	167
	junio	47	5796	123	104	55	156
	julio	75	112455	1499	167	693	178
	agosto	19	22212	1169	33	663	193
	octubre	126	345378	2741	281	1224	157
	noviembre	72	137634	1911	137	1002	169
Camarón	marzo	44	30862	702	87	352	301
	abril	7	1048	149	7	153	223
	mayo	8	128	16	13	10	188
	junio	8	18080	2260	19	933	315
	julio	12	315	26	22	14	178
	agosto	47	41462	882	123	337	278
	octubre	33	15833	479	65	242	247
	noviembre	268	260578	972	545	477	289

En noviembre, el camarón nailon alcanzó rendimientos de hasta 3182 kg/ha, con el esfuerzo de arrastre concentrado en torno a 2 horas (Fig. 3). En el langostino amarillo, el rendimiento fluctuó entre 10 y 4121 kg/ha, bajo un patrón de esfuerzo similar (Fig. 3). Por su parte, el langostino colorado registró rendimientos entre 20 y 3498 kg/ha, con moda de 1193 kg/ha y un esfuerzo por lance de 22 a 208 min, mayoritariamente cercano a 2 horas (Fig. 3).

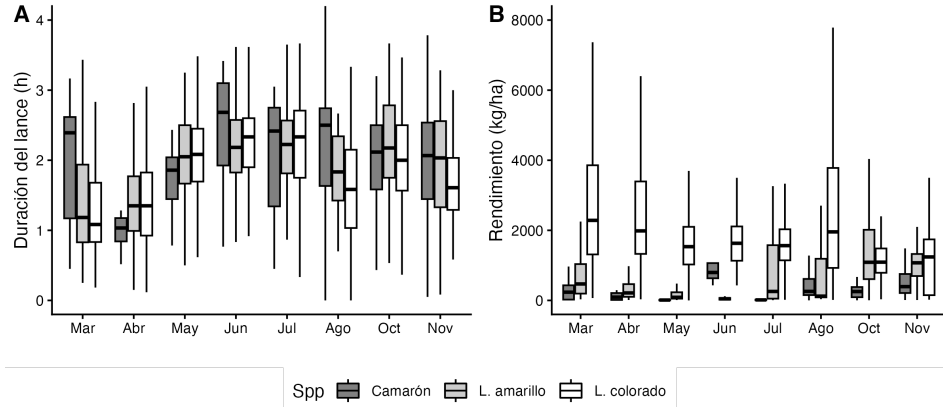


Figure 3: Distribución de frecuencia del esfuerzo de pesca (en horas de arrastre, A) y del rendimiento (en kg/ha, B), para langostino colorado y langostino amarillo durante noviembre de 2025

En noviembre, la distribución espacial del rendimiento de pesca mostró caladeros destacados en Ilota, Constitución y Chanco, con promedios entre 500 y 1000 kg/ha (Fig. 4). En el caso del langostino amarillo, las capturas se concentraron principalmente en la isla Santa María, Punta Toro y Papudo, con rendimientos entre 500 y 1500 kg/ha. Para el langostino colorado, los mayores rendimientos se registraron en Punta Toro, con valores entre 1400 y 2000 kg/ha (Fig. 4).

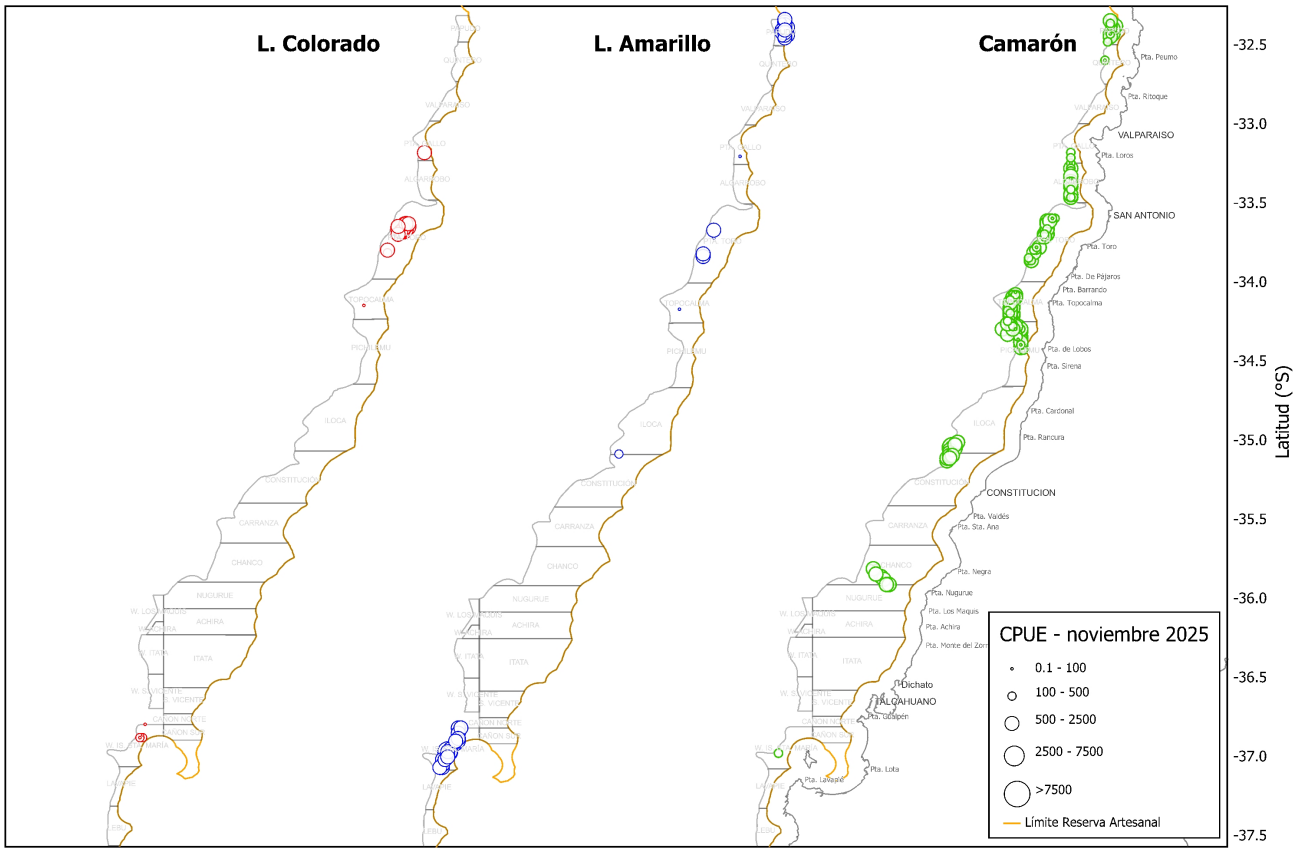


Figure 4: Distribución del rendimiento de pesca (kg/ha) de langostino colorado, langostino amarillo y camarón nailon en noviembre de 2025

3 Aspectos biológicos

Los indicadores biológicos incluyen la talla promedio por sexo, proporción sexual, estructura de tallas, estado de madurez de las hembras ovígeras y su proporción en las capturas. Los datos fueron obtenidos a partir de muestreos diarios aleatorios realizados sobre ejemplares capturados en las zonas visitadas por la flota. Se estableció un tamaño mínimo de muestra de 300 ejemplares, midiendo la longitud del cefalotorax con una precisión de 0,01 mm mediante un pie de metro. Además, los individuos fueron pesados (precisión 0,01 g), y se registró si estaban completos o incompletos. Se determinó el sexo de cada ejemplar y, en el caso de las hembras, se consignó la presencia de huevos (estado ovígero) y el grado de madurez de los mismos, según la escala de 4 puntos propuesta por Palma y Arana (1997).

3.1 Proporción sexual y talla promedio

Durante las capturas efectuadas en noviembre de 2025, la proporción sexual fue favorable a las hembras en camarón nailon y langostino colorado, alcanzando 60% y 64%, respectivamente. En contraste, en langostino amarillo predominaron los machos, con una participación de 56% (Fig. 5).

En noviembre, el camarón nailon presentó tallas medias mayores en las hembras que en los machos, con promedios de 30 y 27 mm LC, respectivamente (Fig. 6). En el caso del langostino amarillo, las hembras registraron las menores tallas promedio (33,8 mm LC), en contraste con los 42 mm LC observados en los machos; estas tallas son coherentes con la tendencia anual de tallas medias observada desde 2016, sin cambios marcados en 2025 (Fig. 6). Por su parte, el langostino colorado presentó longitudes cefalotorácicas entre 30 y 45 mm LC, con promedios cercanos a 37 mm LC en ambos sexos. En comparación con temporadas anteriores, las tallas medias registradas a comienzos de este año fueron particularmente altas (superiores a 37 mm LC), disminuyeron en junio, volvieron a incrementarse en julio y agosto y, aunque descendieron en octubre, se mantuvieron por sobre los 36 mm LC, aumentando nuevamente en noviembre (Fig. 6).

Tabla 2. Proporción sexual y talla promedio de langostino colorado, langostino amarillo y camarón nailon en las capturas de la UPS, año 2025

	Mes	Sexo	n	LC(mm)	DE(mm)	Min.(mm)	Max.(mm)
L.colorado	marzo	hembra	1590	38,2	2,66	24,6	44,7
		macho	1316	37,9	4,09	25,6	46,4
	abril	hembra	2037	35,2	2,33	22,3	42,6
		macho	2337	37,1	2,36	29,3	44,3
	mayo	hembra	2422	35,3	1,91	29,4	43,7
		macho	1402	37,3	2,31	29,5	45,8
	junio	hembra	2516	34,6	2,19	28,2	43,2
		macho	1234	36,7	2,92	29,5	46,2
	julio	hembra	3725	36,9	2,19	30,4	44,5
		macho	1720	38,5	2,80	28,8	46,5
	agosto	hembra	4006	37,3	2,53	24,0	43,6
		macho	1193	36,4	4,46	23,7	48,7
L.amarillo	octubre	hembra	1966	36,2	2,40	27,5	44,7
		macho	484	37,1	2,67	30,2	43,9
	noviembre	hembra	367	36,9	2,61	30,7	45,0
		macho	208	37,4	2,35	31,3	43,2
	marzo	hembra	85	33,3	2,61	29,3	40,3
		macho	165	39,7	2,82	30,5	46,7
	abril	hembra	297	31,4	2,58	19,6	44,6
		macho	1043	37,4	4,38	17,7	51,9
	mayo	hembra	282	35,4	2,84	25,6	43,5
		macho	682	40,2	4,43	25,2	50,8
	junio	hembra	5	33,1	2,62	31,3	36,3
		macho	190	37,9	3,91	27,4	49,4
	julio	hembra	756	34,4	2,21	29,3	42,5
		macho	575	41,1	2,95	30,4	48,6
Camarón	octubre	hembra	1316	34,6	3,05	22,5	44,3
		macho	1641	40,6	4,85	21,2	55,1
	noviembre	hembra	633	33,8	2,71	23,8	47,0
		macho	800	42,0	4,56	24,2	52,9
	marzo	hembra	164	29,7	2,33	24,8	35,6
		macho	86	29,4	1,39	26,5	32,6
	junio	hembra	206	27,3	2,15	23,0	34,9
		macho	44	25,4	2,13	22,5	34,0
	agosto	hembra	811	27,5	3,58	16,6	36,4
		macho	189	24,3	4,11	15,4	39,0
	octubre	hembra	304	29,0	2,75	23,5	37,7
		macho	196	27,1	2,78	20,4	35,7

Mes	Sexo	n	LC(mm)	DE(mm)	Min.(mm)	Max.(mm)
noviembre	hembra	2555	29,8	2,49	19,9	37,1
	macho	1695	27,5	3,06	16,2	36,3

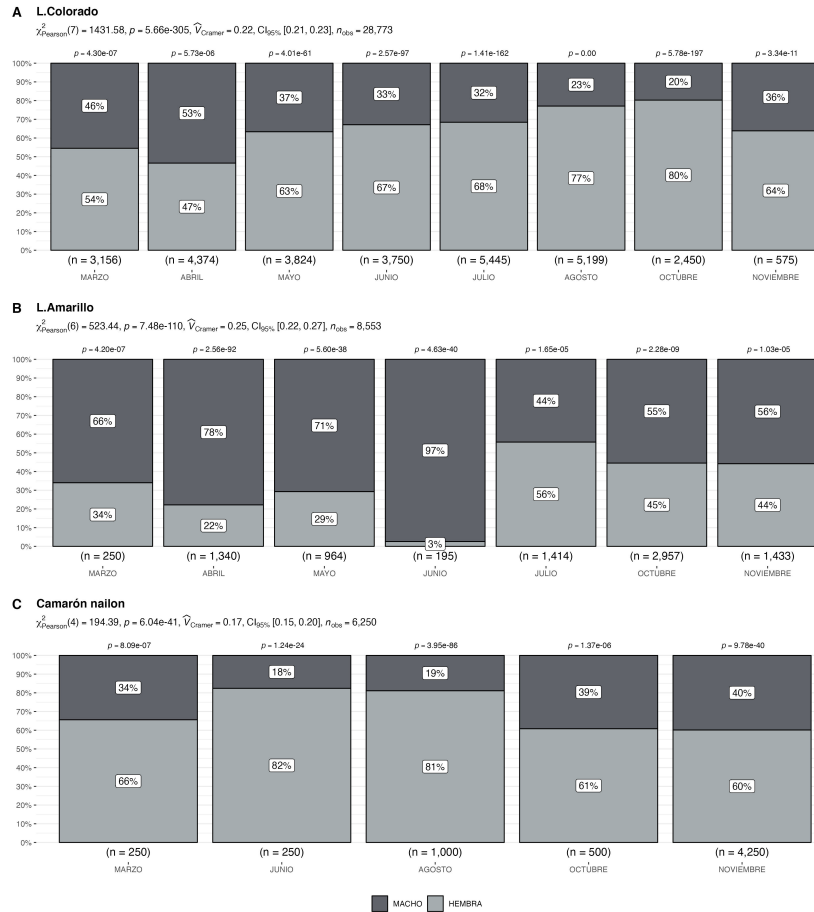


Figure 5: Proporción sexual de langostino colorado (A), langostino amarillo (B) y camarón nailon (C) durante el año de 2025

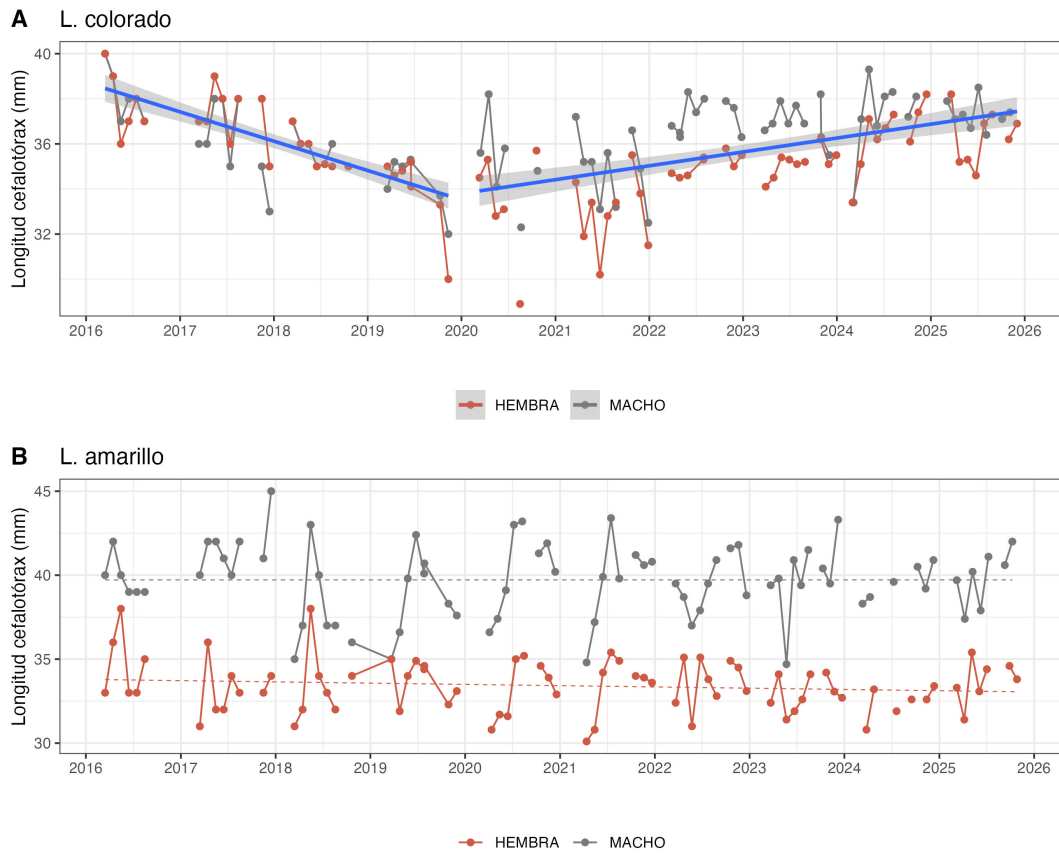


Figure 6: Talla promedio (LC, mm) de langostino colorado y langostino amarillo por sexo, en el periodo enero 2016 a noviembre de 2025

3.2 Aspectos reproductivos

Durante noviembre de 2025, el 30 % de las hembras de langostino colorado se encontraban en estado ovígero, proporción similar a la registrada en el mismo período del año anterior. En el langostino amarillo, la proporción de hembras ovígeras se mantuvo elevada, en torno al 79 % (Fig. 7, Tabla 3). En camarón nailon, en tanto, se observó un 52 % de hembras portadoras de huevos.

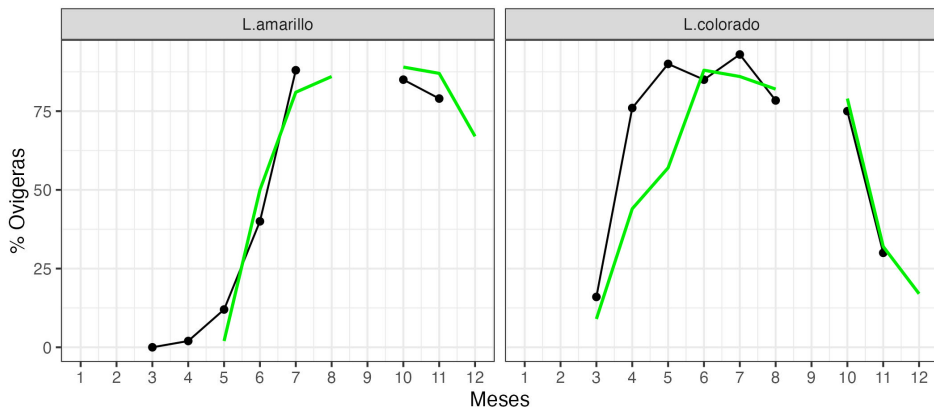


Figure 7: Hembras ovígeras de langostino colorado y langostino amarillo durante el año 2025, en comparación con la media registrada entre los años 2017 a 2023 (línea verde)

Tabla 3. Porcentaje de hembras ovígeras y hembras maduras de langostino colorado y amarillo UPS 2025.

Recurso	Estado	mar.	abr.	may.	jun.	jul.	ago.	oct.	nov.
L.colorado	Normal	83%	21%	7%	8%	3%	7%	15%	63%
	Ovígeras	16%	76%	90%	85%	93%	78%	75%	30%
	Madura	1%	3%	3%	7%	4%	15%	10%	7%
Total n°		1590	2037	2422	2566	3725	4006	1966	367
L.amarillo	Normal	100%	98%	7%	60%	2%	-	4%	12%
	Ovígeras	0%	2%	12%	40%	88%	-	85%	79%
	Madura	0%	0%	1%	0%	10%	-	11%	9%
Total n°		85	297	282	5	765	-	1316	633

3.3. Composición de tallas

En noviembre de 2025, el camarón nailon mostró diferencias claras entre sexos: las hembras alcanzaron las mayores tallas promedio, en torno a 30 mm LC, frente a los 27 mm LC observados en los machos (Tabla 2, Fig. 8). En el langostino amarillo se observó un patrón inverso, con machos de mayor tamaño, con promedios cercanos a 42 mm LC, en comparación con las hembras, que registraron tallas medias en torno a 34 mm LC (Tabla 2, Fig. 8), y en el caso del langostino colorado, el análisis de tallas no evidenció diferencias significativas entre sexos (prueba t de Student, $p > 0,05$).

Respecto de la composición de tallas por zona de pesca, en camarón nailon se observó una distribución relativamente homogénea en siete de los nueve caladeros analizados. No obstante, Pichicuy y Papudo concentraron los rangos de tallas más amplios, siendo Papudo el caladero que registró las menores tallas medias en ambos sexos (Fig. 11). En el langostino amarillo se dispuso de muestras biológicas únicamente en Papudo y en la isla Santa María, destacando esta última por exhibir el rango de tallas más amplio (Fig. 10). En el caso del langostino colorado, las muestras se obtuvieron solo en los caladeros de Santo Domingo y Papudo, sobresaliendo este último por presentar las mayores tallas modales, superiores a la media histórica registrada para esa zona (Fig. 9).

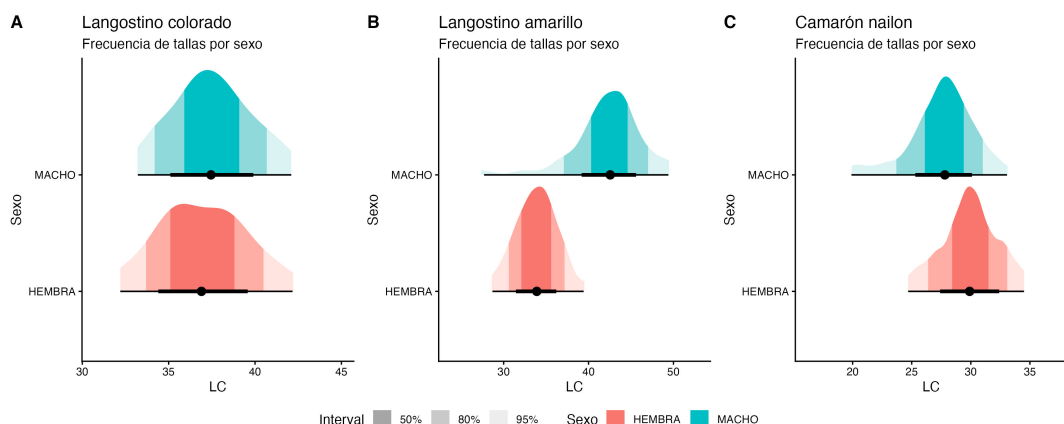


Figure 8: Composición de tallas de langostino colorado (A), langostino amarillo (B) y camarón nailon (C) entre sexos, en noviembre de 2025

Langostino colorado
Frecuencia de tallas por caladero

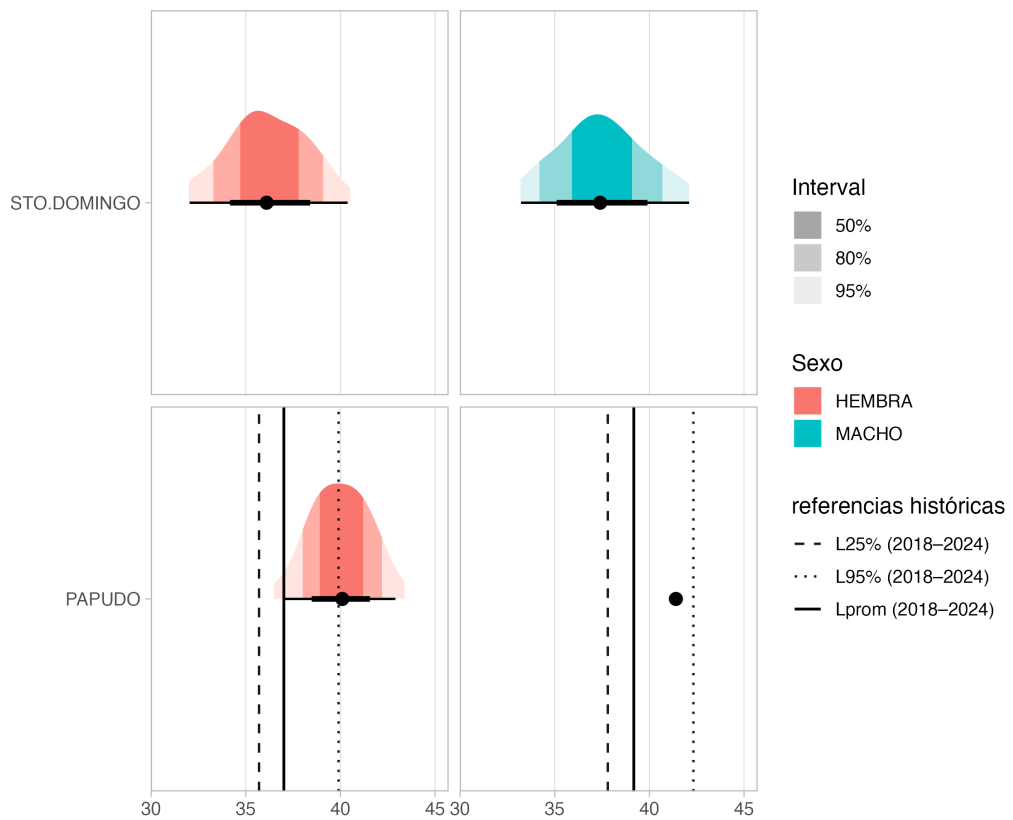


Figure 9: Composición de tallas de langostino colorado en la UPS por zonas de pesca en noviembre de 2025

Langostino amarillo
Frecuencia de tallas por caladero

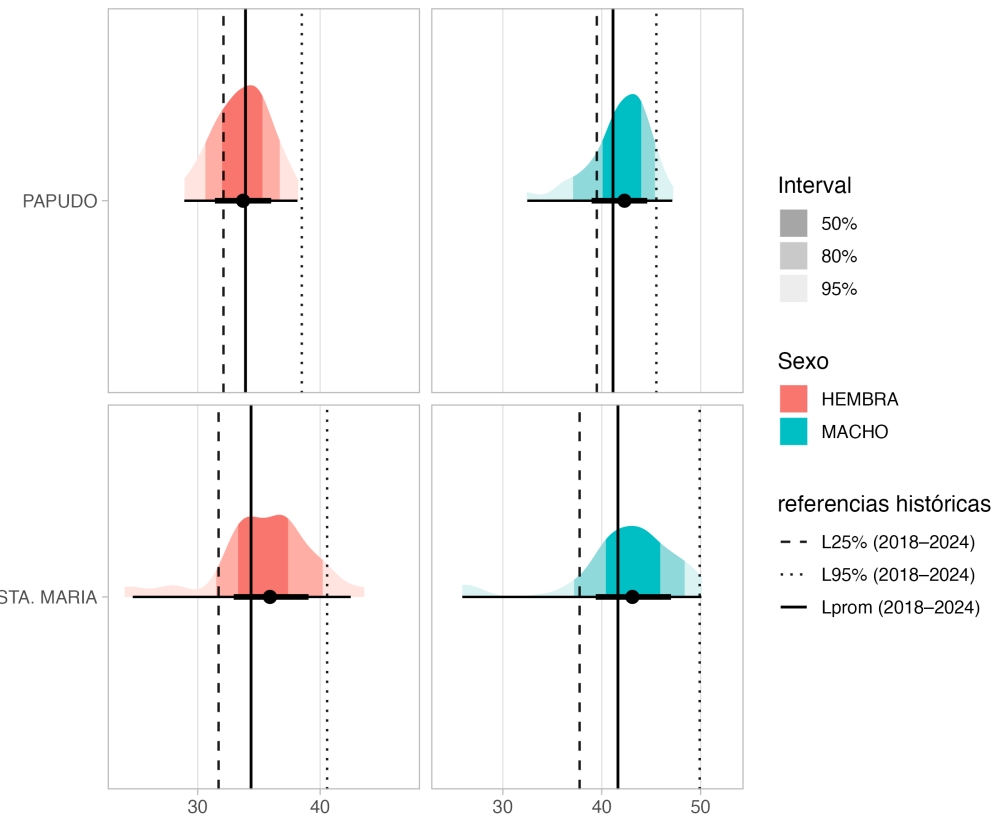


Figure 10: Composición de tallas de langostino amarillo en la UPS por zonas de pesca en noviembre de 2025

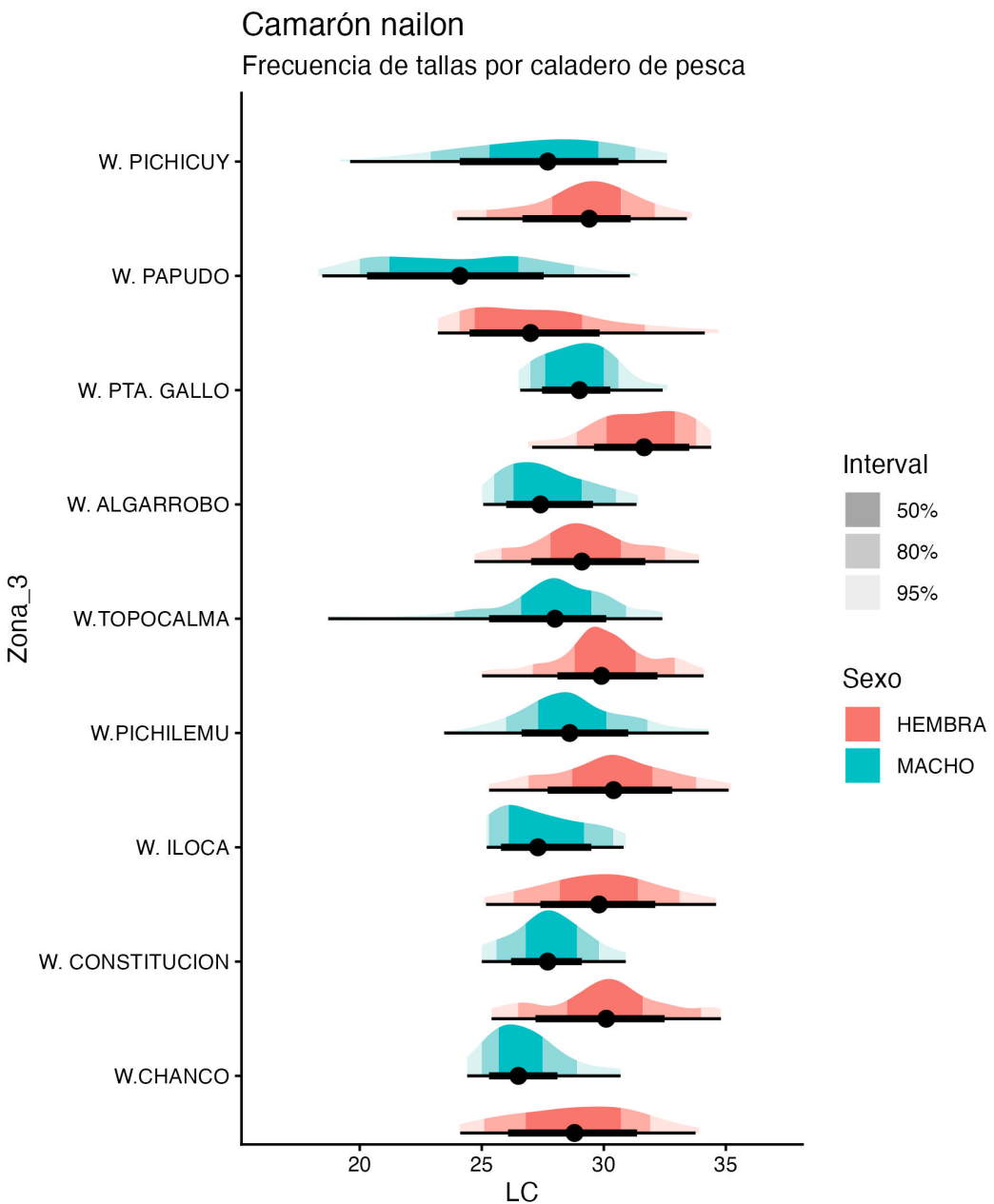


Figure 11: Composición de tallas de camarón nailon en la UPS por zonas de pesca en noviembre de 2025

3.4 Fauna acompañante

Las operaciones de pesca realizadas durante noviembre de 2025 por la flota de Crustáceos Pesca Sur evidenciaron la presencia de pejerrata, como fauna acompañante, en la mayoría de los caladeros que se visitaron (Fig. 12). Esta especie representó el 7,4 % del total de las capturas alcanzando un volumen de 35 t.

En cuanto a la fauna acompañante, destacó la alta presencia de merluza y lenguado en la totalidad de los caladeros muestreados, con densidades entre 50 y 200 kg/ha (Fig. 13). También se registró la presencia de otros recursos, como jaiba paco y jaiba limón, aunque en menores abundancias (en términos de unidades por hora de arrastre), tal como se observa en la Figura 13.

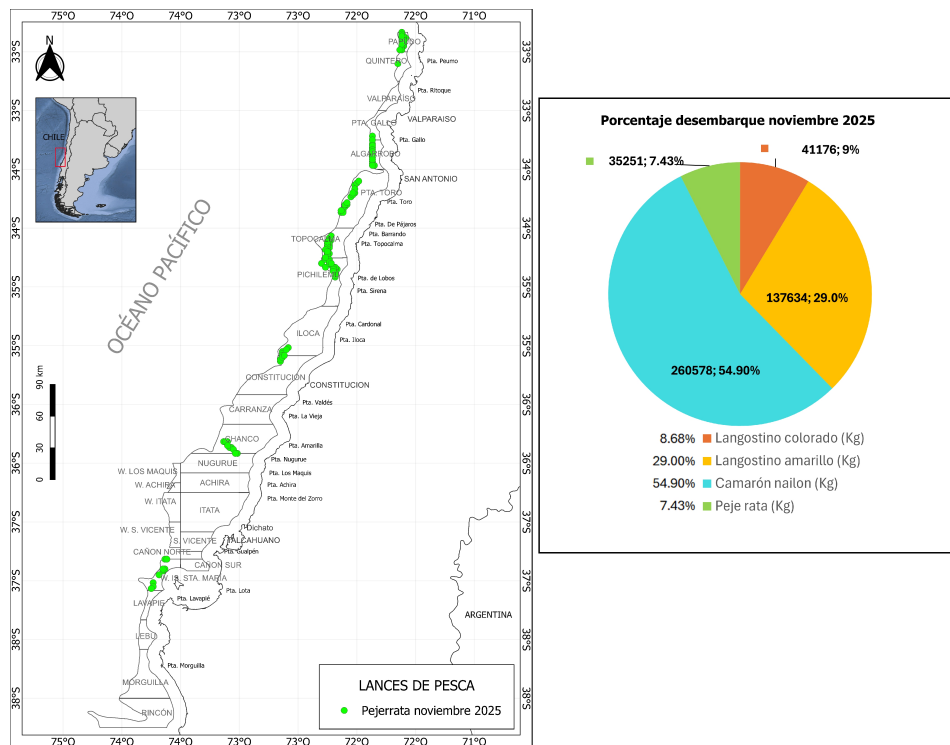


Figure 12: Distribución de los lances de pesca con captura de pejerrata en las capturas de camarón nailon, langostino colorado y langostino amarillo, y la fracción de pejerrata en las capturas totales, de noviembre año 2025

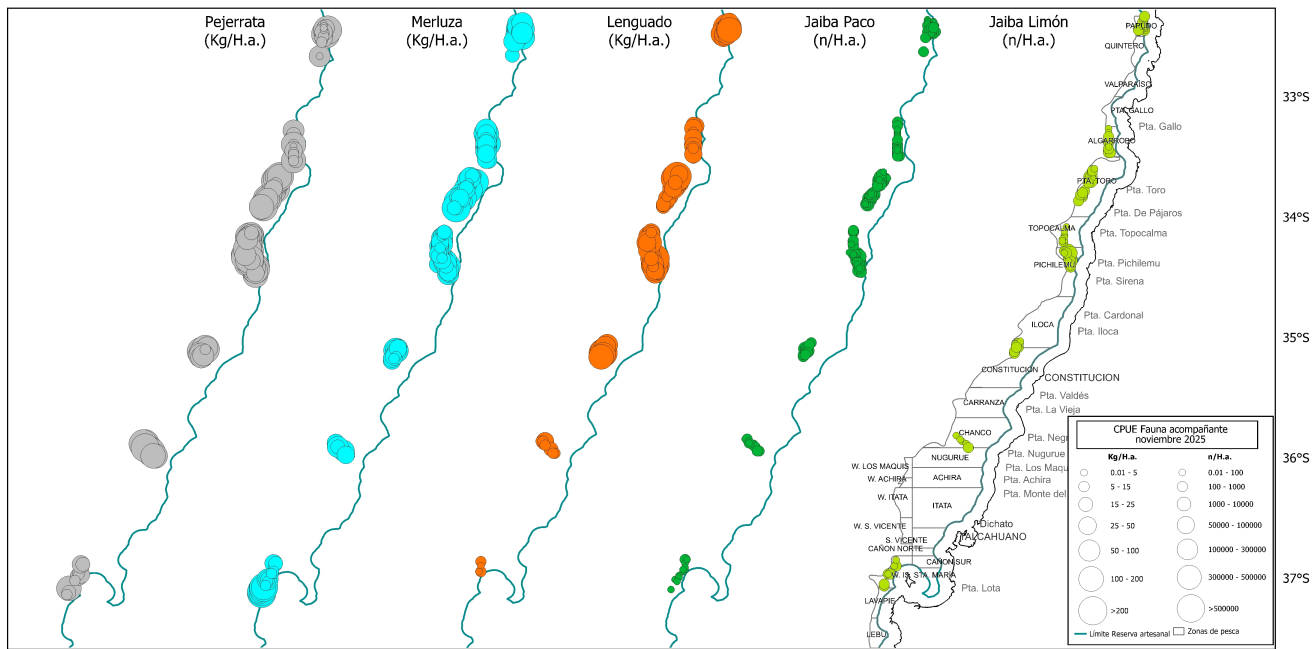


Figure 13: Distribución espacial y abundancia de la fauna acompañante en los lances de pesca orientados a langostinos colorado y langostinos amarillos por la flota arrastrera de Camanchaca Pesca Sur, noviembre de 2025